Заключение

Согласно приведённым материалам, околорудным метасоматическим ореолам мезотермальных золотых месторождений Северного Забайкалья, образованным в кристаллическом и черносланцевом субстрате, свойственны комплексные магнийфосфор-титановые аномалии.

Изменение концентрации титана в обогащённых им березитах тыловой зоны ореолов коррелирует с концентрацией и распределением элемента в метасоматическом пирите березитов и руд. Аномалии фемофильных элементов контролируются зонами глубинных разломов, локальны и приуроче-

ны к ближнему обрамлению краевых и внутренних швов этих зон. В Ирокиндинском месторождении фиксируется снижение концентраций элементов триады в березитах тыловой зоны ореолов по мере удаления от Килянской зоны глубинных разломов. В Кедровском месторождении магнием, титаном, фосфором обогащены березиты тыловой зоны апосланцевых, апогаббровых, апогранитных околожильных метасоматических ореолов и многочисленные внутрирудные гидротермально изменённые дайки долерита, как и разломы в обоих месторождениях выполнявшие в период рудообразования раствороподводящую функцию.

СПИСОК ЛИТЕРАТУРЫ

- Кучеренко И.В. О фосфор-магний-титановой специализации золотоносных березитов // Доклады АН СССР — 1987. — Т. 293. — № 2. — С. 443—447.
- Кучеренко И.В. Пространственно-временные и петрохимические критерии связи образования золотого оруденения с глубинным магматизмом // Известия АН СССР. Сер. геологич. 1990. № 10. С. 78—91.
- 3. Лаверов Н.П., Прокофьев В.Ю., Дистлер В.В. и др. Новые данные об условиях рудоотложения и составе рудообразующих флюидов золото-платинового месторождения Сухой Лог // Доклады РАН. −2000. −Т. 371. −№ 1. −С. 88−92.
- Кучеренко И.В. Позднепалеозойская эпоха золотого оруденения в докембрийском обрамлении Сибирской платформы // Известия АН СССР. Сер. геологич. 1989. № 6. С. 90—102.

УДК 553.311

МЕТОДИКА ВЫЯВЛЕНИЯ СТРУКТУРЫ АНОМАЛЬНЫХ ГЕОХИМИЧЕСКИХ ПОЛЕЙ РУДНЫХ МЕСТОРОЖДЕНИЙ

В.Г. Ворошилов

Томский политехнический университет E-mail: lev@tpu.ru

Критически проанализированы возможности и особенности существующих методов выявления и геометризации структур аномальных геохимических полей рудных месторождений. Установлено, что структура геохимического поля наиболее объективно выявляется в пространстве признаков. Предложены новые способы и методика комплексирования существующих методов анализа структуры геохимических полей.

Исследование зональности геохимических полей, как важнейшей составляющей комплексной зональности месторождений, изначально было одним из приоритетных направлений в прикладной геохимии. Являясь отражением последовательного отложения минеральных парагенезисов, геохимическая зональность была и остается ведущим фактором прогнозирования оруденения любого типа и, в особенности, гидротермального.

После открытия в 70-х годах прошедшего века обобщенного ряда вертикальной геохимической зональности, закономерности последовательного отложения элементов стали использоваться во всех моделях зональности. Между тем, очень скоро выяснилось, что монотонное убывание с глубиной значений коэффициентов зональности часто сочетается с очень сложным их распределением в плоскости рудных тел, что делает проблематичным использование названных коэффициентов при дос-

таточно редкой сети опробования. Особенно остро эта проблема встала для золоторудных месторождений, где обычным является столбовое и ярусное распределение оруденения. Впоследствии в понятие аномалии, кроме ореолов привноса элементов. все чаше стали включать и области их выноса. Выяснилось также, что эти сопряженные в пространстве положительные и отрицательные аномалии не являются чем-то изолированным, а представляют собой часть закономерно построенных конструкций со строгой иерархической соподчиненностью. Все это привело к появлению структурного метода исследования геохимических полей, при котором геохимические поля рассматриваются как структурированные системы, каждый блок которых характеризуется специфическими параметрами. В наиболее последовательном виде структурный метод изложен С.А. Григоровым [1]. Метод существенно облегчает разбраковку многочисленных аномалий,

выявляемых в процессе геохимических съемок, и позволяет выделить наиболее перспективные из них даже при идентичности количественных показателей. Главной проблемой при этом является правильная интерпретация внутреннего строения геохимического поля, учитывая пространственное совмещение аномальных структур различных иерархических уровней.

В настоящее время для расшифровки структуры геохимического поля используются, в основном, ∂ee группы методов: 1) выделение областей пространства со сходными геохимическими спектрами и 2) выявление устойчивых ассоциаций элементов и анализ их пространственного размещения. Первая группа методов основана на кластеризации наблюдений, вторая осуществляет классификацию в признаковом пространстве с последующей пространственной геометризацией выделенных ассоциаций. Наиболее широко используемые методы первого направления - метод многомерных полей, система "Геоскан" [2], Q-метод факторного анализа и его разновидности, кластер-анализ наблюдений, корреляция геохимических спектров наблюдений, методики вычисления показателей общей интенсивности рудного процесса (коэффициенты аномальности, комплексный показатель дисперсии, ранговая дисперсия и др.), различные мультипликативные и аддитивные показатели зональности. Ко второй группе относятся R-метод факторного анализа, кластер-анализ переменных, искусственные нейронные сети, дискриминантный анализ, регрессионный анализ, другие методы классификации переменных.

Определенные сведения о структуре геохимического поля дают расчетные показатели, основанные на центробежно-центростремительной классификации химических элементов Ю.Г. Щербакова [3]. Этим автором предложено рассчитывать коэффициенты относительной концентрации (ОК) родственных элементов, нормированные по недифференцированным хондритам. Максимальные значения этих показателей характерны для апикальных частей рудных тел, а в более мелком масштабе, очевидно, – для флангов месторождений. В.И. Силаевым [4] предложены два показателя, основанных на классификации Ю.Г. Щербакова, которые мы предлагаем называть индексами центробежности (ИЦ1 и ИЦ2) и использовать их для анализа структуры геохимического поля. Первый из них (ИЦ1) представляет собой отношение суммы минимально-центробежных элементов к сумме центростремительных элементов, второй (ИЦ2) отношение суммы центробежных и дефицитноцентробежных элементов к сумме центростремительных и минимально-центробежных. Содержания элементов должны быть стандартизованы.

Представляется полезным на конкретных примерах провести сравнительный анализ эффективности перечисленных методик исследования внутреннего строения геохимических полей различных иерархических уровней. Такой анализ проведен на-

ми для разных типов золоторудных месторождений, а также золотосодержащих скарново-магнетитовых и колчеданно-полиметаллических объектов. Ниже обсуждаются результаты по одному из золоторудных полей.

Юхтинское рудное поле расположено в Центрально-Алданском золоторудном районе и включает в себя Самолазовское и Гарбузовское месторождения и около десятка мелких проявлений и точек минерализации золота. Оруденение представлено субгоризонтальными залежами сульфидно-флюорит-полевошпат-кварцевого состава и крутопадающими зонами прожилково-вкрапленной минерализации того же парагенезиса. Из сульфидов, количество которых обычно не превышает 5 %, развит, в основном, пирит, реже – галенит, халькопирит. Характерной особенностью оруденения рассматриваемого типа является его приуроченность к приконтактовой зоне штокообразных массивов сиенит-граносиенитов лебединского комплекса (рис. 1). При этом рудные залежи локализуются в скарнах, а прожилково-вкрапленная минерализация приурочена к зонам тектонических нарушений внутри интрузивных пород.

В основу наших построений положены результаты литогеохимической съемки масштаба 1:10000 по вторичным ореолам рассеяния в пределах Юхтинского массива и его обрамления (60 кв. км), выполненной ГУГПП "Алдангеология", и данные геохимического опробования керна скважин, пробуренных на месторождении Самолазовском артелью старателей "Селигдар".

Для всей площади работ во вторичном геохимическом поле факторным анализом выделяются следующие устойчивые ассоциации главных элементов-индикаторов: 1) Pb, Bi, Ag, Cu; 2) Ba, Mn; 3) As, (Ag, Au), 4) Au, Cu, Ag. Серебро и медь входят в состав двух ассоциаций — золото-медной и свинцововисмутовой. Характерно, что содержания меди и золота тесно коррелируются на участках с промышленным оруденением, на остальной площади медь входит только в состав первого фактора.

На рис. 1, B показано пространственное размещение выделенных ассоциаций на изученной площади. Они объединяются в субмеридиональную дугообразную полосу размерами порядка 10×3 км. В пределах этой структуры, по масштабу соответствующей рудному полю, отчетливо выделяются 3 зоны – центральная, сложенная перекрывающимися ассоциациями Au, Cu, Ag и Pb, Bi, Ag, Cu, промежуточная, где преобладает ассоциация Рь, Ві, Си, Ад, и внешняя, с повышенными концентрациями Ва и Мп. Промышленные месторождения обнаружены в центральной зоне, причем только там, где пространственно совмещаются две ассоциации (факторы 1 и 4), в промежуточной и внешней зонах известны только рудопроявления и точки минерализации.

Кластер-анализом наблюдений в рудном поле выявлено 4 устойчивых класса проб. Центральная

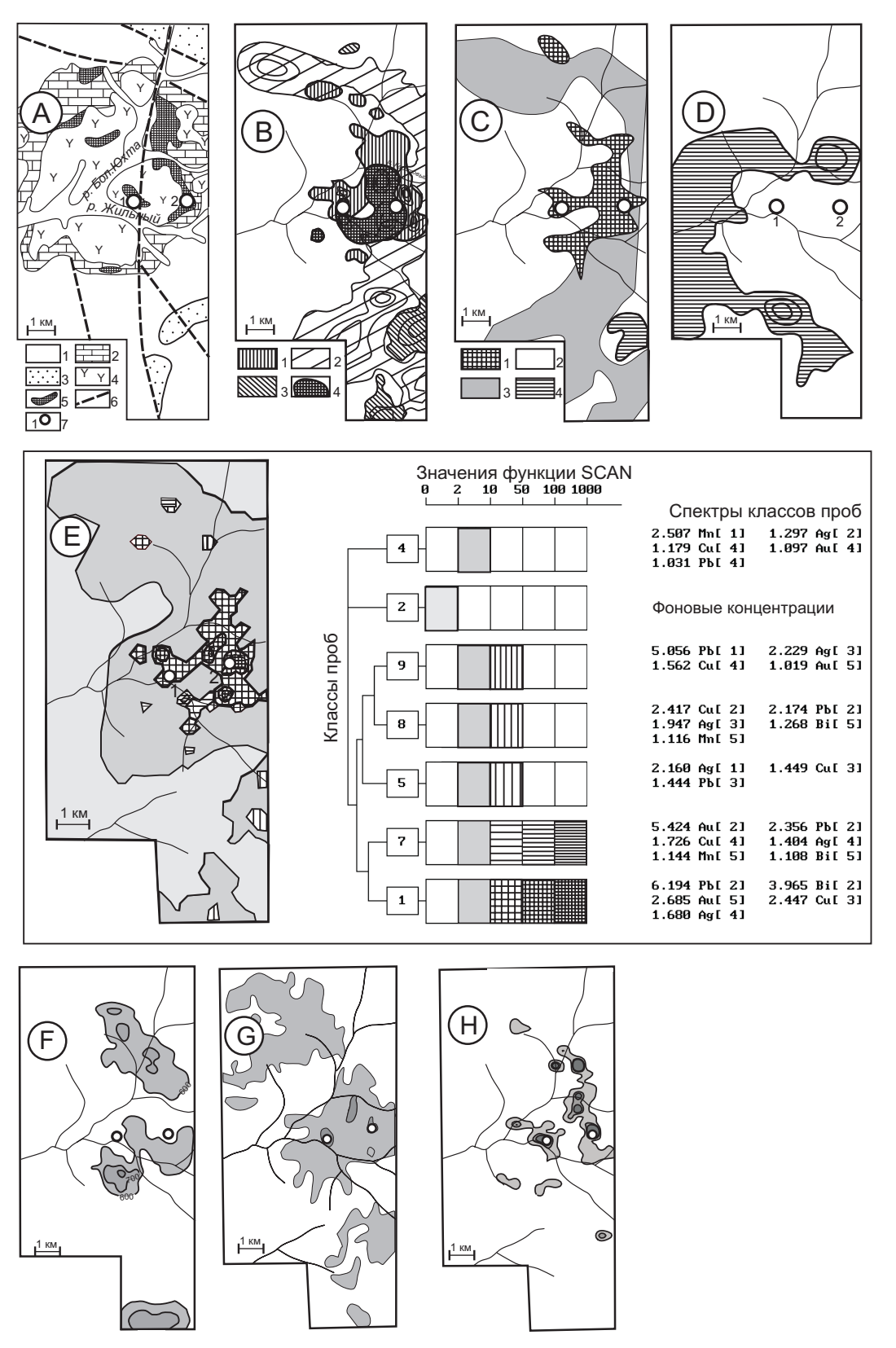


Рис. 1. Модели геохимической зональности рудного поля по данным различных методов: А) схема геологического строения: 1) доломиты; 2) мрамора; 3) песчаники; 4) граносиениты; 5) скарны; 6) основные разрывы; 7) золоторудные месторождения: 1 — Самолазовское, 2 — Гарбузовское; В) факторный анализ; участки развития ассоциаций: 1) Pb, Bi, Ag, Cu; 2) Ba, Mn; 3) As, (Ag, Au), 4) Au, Cu, Ag; C) кластер-анализ наблюдений; состав кластеров: 1) Bi, Cu, Pb, Au, Ag; 2) фоновые концентрации всех элементов; 3) Ba, Mn; 4) As, Ag, Cu, Au, Pb; D) индекс центробежности ИЦ2; E) Геоскан-модель; F) показатель ОК Ag:Au; G) ранговая дисперсия (по [5]); H) энергия рудообразования

часть площади, с наиболее интенсивной минерализацией, отнесена к кластеру № 1 (Au, Cu, Pb, Bi), к нему же отнесен слабо золотоносный участок на северо-западном фланге рудного поля (рис. 1, C). Кластер 4 (Ag, As) локализовал участок с предполагаемым оруденением куранахского типа. Кластером 3, как и в факторном анализе, оконтурилась площадь развития ассоциации Ва и Мп, остальные пробы отнесены к фоновой совокупности (кластер 2). Таким образом, кластер-анализ наблюдений не смог дифференцировать участки совмещения минерализаций различного типа в центральной части рудного поля. С учетом того, что интенсивность рудного процесса в результатах кластер-анализа наблюдений не отражается, очевидно, что результаты этого довольно трудоемкого метода во всех отношениях уступают данным, полученным факторным анализом.

Повышенные значения индекса центробежности $И \coprod 2 = (As + Pb + Bi + Ba)/(Co + Ni + Cu + Ag + Au)$ формируют кольцевую полузамкнутую структуру, окаймляющую участок максимального оруденения с севера, запада и юго-запада, фиксируя зону фронтального обогащения рудного поля (рис. 1, D).

На рис. 1, Е приведен результат исследования структуры геохимического поля Юхтинского массива системой "Геоскан". Центральная часть рудного поля отнесена к кластеру $Pb_{6,2}Bi_{4,0}Au_{2,7}Cu_{2,4}Ag_{1,7}$, причем максимум развития этой ассоциации совпадает с месторождением Гарбузовским. Самолазовское месторождение тоже находится внутри названного кластера, но интенсивность поля над ним достаточно низкая. Из сравнения с результатами факторного анализа видно, что на описываемой площади совмещены две геохимические ассоциации. В результате кластером, где золото является ведущим элементом (класс № 7) "Геоскан" фиксирует участки с непромышленной минерализацией на флангах известных месторождений. Тремя родственными классами проб медно-свинцово-серебряного состава с невысокой интенсивностью функции SCAN выделяются несколько локальных участков во фронтальной зоне рудного поля, на площадях с предполагаемым оруденением куранахского типа. Таким образом, "Геоскан" уверенно выделил рудоносные площади, дифференцировав их по интенсивности рудного процесса и типу геохимического спектра. В то же время, система не смогла идентифицировать участки перекрытия двух ассоциаций, медно-золотой и полиметаллической, а именно эти участки и вмещают промышленное оруденение.

Аномалии коэффициента относительной концентрации ОК Ag:Au окаймляют месторождения Самолазовское и Гарбузовское с севера и с юга и, по всей видимости, маркируют рудоподводящие субмеридиональные структуры (рис. 1, F).

Максимальными значениями "показателей интенсивности" (ранговая дисперсия и энергия рудообразования [5,6]) уверенно выделяются оба промышленных месторождения (рис. 1,G;1,H). Кроме того,

на северном продолжении тектонической зоны, контролирующей размещение Гарбузовского месторождения, локализуются еще 2 участка с аномально высокими значениями этих показателей. Промышленных концентраций золота здесь не выявлено.

В ранге месторождения по геохимическим данным выделяется, как наиболее перспективный, участок, ограниченный ручьями Жильный, Карстовый и рекой Большая Юхта (участок Жильный).

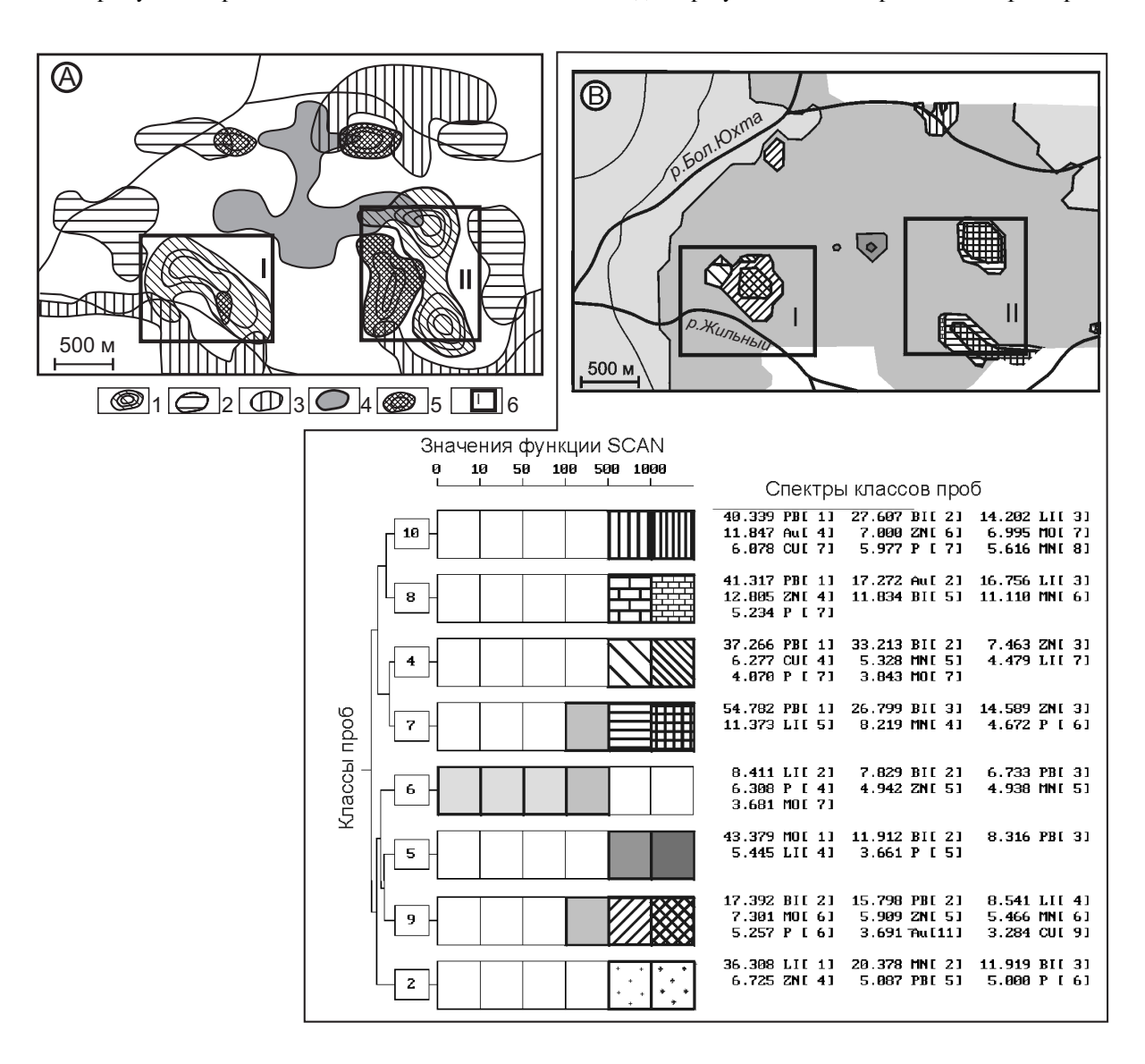
Рис. 2, А демонстрирует структуру вторичного геохимического поля участка Жильного по данным факторного анализа. Здесь обособились 4 главных фактора, вклад которых в общую дисперсию составляет около 60 %. Они формируют очень контрастную полузамкнутую концентрическую структуру, от центра к периферии которой последовательно сменяются ассоциации: (Mo, Ag) - (Au, As) - (Pb,Bi, Ag, Zn, Cu) – (Ni, Cr, Co). С юга и севера структура окаймляется аномалиями Ва и Мп. Конфигурация аномальной структуры позволяет предполагать приуроченность ее к пересечению субмеридиональных, субширотных и северо-восточных разрывов, из которых первые можно рассматривать как рудоподводящие. На участке локализуются 4 аномальных структуры геохимического поля (АСГП), две из которых соответствуют месторождениям Самолазовскому и Гарбузовскому, две других фиксируют участки минерализации, связанные с северным продолжением субмеридиональных рудоконтролирующих зон. Последние две структуры имеют неполный набор ассоциаций, что свидетельствует о недостаточной интенсивности рудного процесса. Промышленных концентраций золота, по данным буровых работ, здесь не выявлено.

Системой "Геоскан" на участке Жильном выделено 7 аномальных кластеров с близкими геохимическими спектрами (рис. 2, *B*). Они концентрируются в нескольких локальных аномалиях, три из которых пространственно приурочены к Самолазовскому и Гарбузовскому месторождениям, но фиксируют здесь участки развития полиметаллических ассоциаций (Pb, Bi, Zn, Cu). Золото в них существенной роли не играет. Таким образом, оба промышленных месторождения системой "Геоскан" выявляются, но структуру геохимического поля расшифровать по полученным данным без дополнительной информации очень сложно.

Кластер-анализом в пределах Жильного участ-ка выделено 5 классов проб (рис. 2, C). Золоторудные месторождения уверенно фиксируются кластером № 2 с повышенными концентрациями Рb, Bi, Ag, Zn, Cu, Tl, Sn, W, V. Зоны непромышленной минерализации, включая участки на северном продолжении рудовмещающих зон, отнесены к кластеру № 5, представленному теми же элементами, но с более низкими их концентрациями. В центре площади развита ассоциация Мо, Ag (кластер № 4), а по периферии месторождений проявлен кластер № 3 (Co, Ni, Ti, Mn, Li, Cr). Таким образом, структура геохимического поля, выявленная

кластер-анализом наблюдений, близка к АГСП, полученной по результатам факторного анализа, за исключением интенсивности геохимических преобразований, которая в результатах кластер-анализа напрямую не отражается.

Максимальные значения показателя энергии рудообразования характерны для Гарбузовского и Самолазовского месторождений, а также для двух участков на их северном продолжении. Последние, исходя из результатов кластер-анализа и факторно-



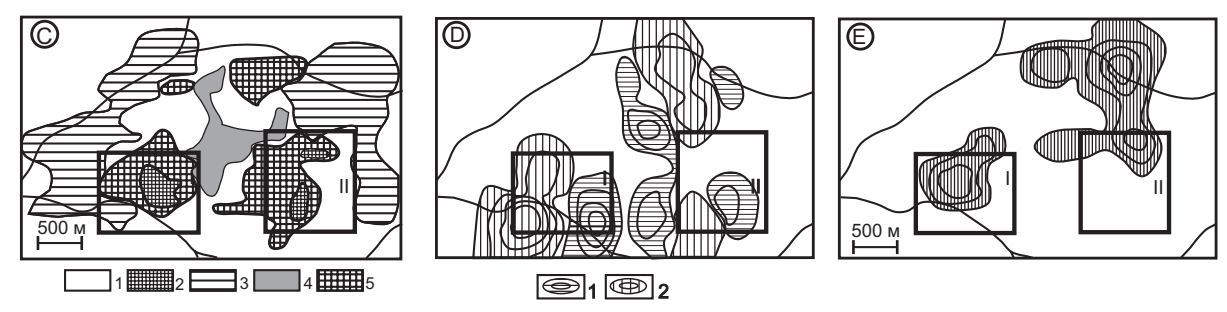


Рис. 2. Структуры геохимического поля участка Жильного. А)факторный анализ; участки развития ассоциаций: 1) Pb, Bi, Ag, Zn, Cu; 2) Ni, Cr, Co; 3) Ba, Mn; 4) Mo, Ag; 5) Au, As; 6) контуры месторождений: I — Самолазовского, II — Гарбузовского; В) Геоскан-модель; C) кластер-анализ наблюдений; состав кластеров: 1) фоновые концентрации всех элементов; 2) Pb_{5,62} Bi_{4,83} Ag_{3,39} Zn_{3,12} Th_{1,96} Cu_{1,93} Au_{1,31}, 3) Co_{1,21} Ni_{1,05} Ti_{0,98} Mn_{0,97} Cr_{0,84}; 4) Mo_{3,72} Ag_{0,76}; 5) Cu_{0,67} Au_{0,67} Bi_{0,67} Ti_{0,60} Ag_{0,54} Zn_{0,51} Pb_{0,43}; D) индексы центробежности: 1) ИЦ1; 2) ИЦ2; E) показатель ОК Ag:Au

го анализа, могут быть отнесены к зонам рассеянной минерализации.

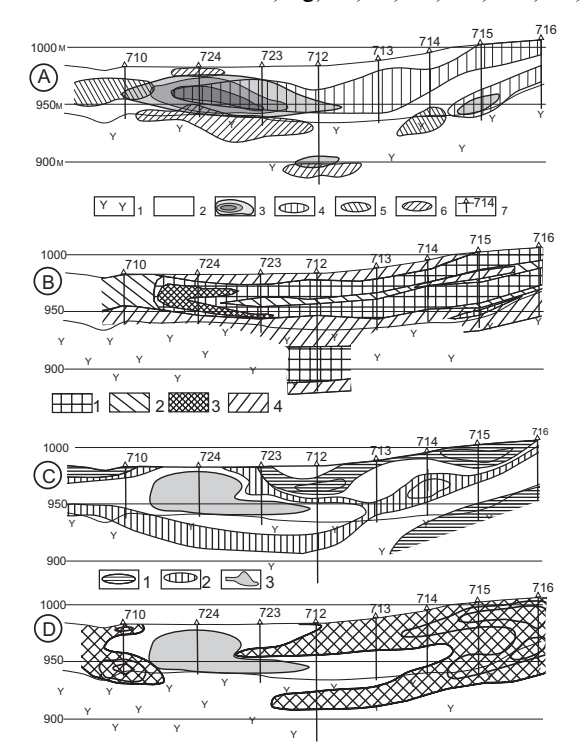
Повышенные значения индексов центробежности в пределах участка Жильного приурочены к рудоконтролирующим субмеридиональным структурам, причем аномалии показателя ИЦ1 отчетливо окаймляют с двух сторон зону повышенных значений показателя ИЦ2 (рис. 2, *D*). На месторождении Самолазовском это проявлено менее контрастно, чем на Гарбузовском, из-за пологого залегания рудного тела и значительной заболоченности участка.

Высокие значения коэффициентов относительной концентрации пары элементов Ag:Au приурочены к тем же рудоконтролирующим структурам и характерны для флангов месторождений (рис. 2, *E*). Наиболее золотоносные участки характеризуются пониженными значениями ОК и ИЦ. По этому признаку северное продолжение Гарбузовского месторождения может быть классифицировано как зона рассеянной минерализации, что подтверждает выводы, полученные кластер-анализом и факторным анализом.

Зональность размещения геохимических ассоциаций в плоскости рудных залежей рассмотрена на примере разведочных пересечений через Самолазовское месторождение (рис. 3). По результатам факторного анализа в пределах пологозалегающей залежи выявлено 4 класса элементов. Наиболее золотоносная часть залежи характеризуется аномальным накоплением Au, Ag, As, Tl, Pb, Cu, Mo, Ni, V,

Sb, W. При этом As, Ni, Tl, Sb тесно коррелируются с золотом и объединяются с ним в одну ассоциацию. Участки ее распространения в целом совпадают с контурами промышленных блоков. Ассоциация Pb, Bi, Ag, Zn, Cu распространена более широко, но преимущественно в восточной части месторождения. В западном направлении она сменяется на ассоциацию Ва, Мп, Сг, которая сопровождается умеренной и слабой золотоносностью. Характерно, что наиболее золотоносные участки сопровождаются локальными аномалиями титана в лежачем и висячем боках рудных тел. Ті коррелируется с Мо и, в целом, эта ассоциация распространена на участке в виде полосы северо-восточного простирания. Возможно, она фиксирует рудоконтролирующую структуру ранга месторождения.

Системой "Геоскан" в разрезе через рудную залежь выявлено 7 аномальных классов проб со сходными геохимическими спектрами, в каждом из которых главную роль играет Рb. Близость состава геохимических спектров, обусловленная пространственным совмещением различных геохимических ассоциаций, не способствует пониманию механизма формирования геохимической зональности. Промышленная часть залежи выделяется, по-существу, лишь повышенным вкладом Au в геохимический спектр (рис. 3, B). Структуру же геохимического поля, без априорной информации, полученной другими методами, расшифровать доста-



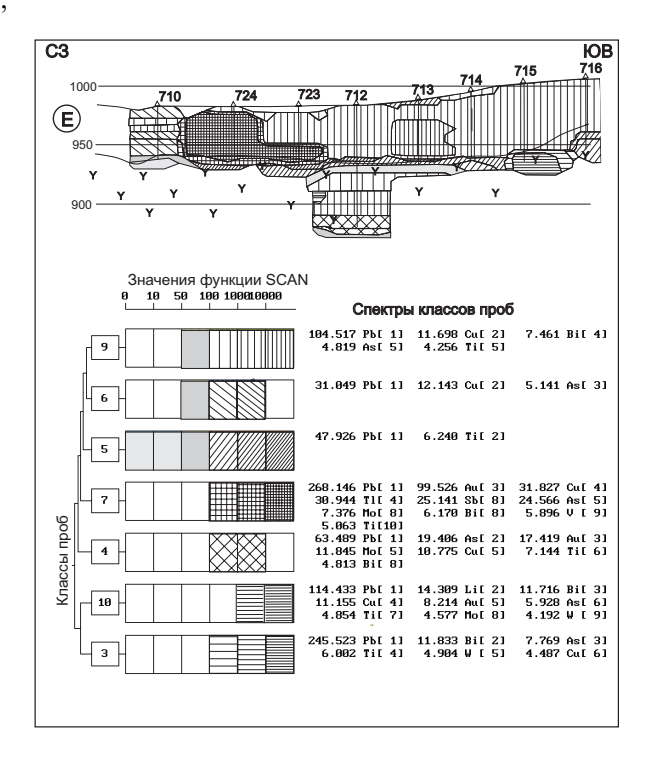


Рис. 3. Структура геохимического поля ранга рудного тела. Разрез через месторождение Самолазовское: А) факторный анализ: 1) граносиениты; 2) дезинтегрированные скарны с рудной минерализацией; участки развития геохимических ассоциаций: 3) Au, As, Ni, Tl, Sb; 4) Pb, Bi, Ag, Zn, Cu; 5) Ba, Mn, Cr; 6) Ti, Mo; 7) разведочные скважины; B) кластер-анализ наблюдений; состав кластеров: 1) $Bi_{0,71}$ Zn_{0,65} Pb_{0,48} Cr_{0,48} Co_{0,47} 2) $Li_{0,38}$ Be_{0,28} Mn_{0,27} Ba_{0,23}; 3) $V_{3,58}$ Ni_{5,51} $Tl_{3,51}$ Ag_{3,41}Sb_{3,19} Au_{3,16} As_{3,04} Pb_{2,46} Cu_{2,44} Mo_{2,05}; 4) $Ti_{1,05}$ Ba_{0,16}; C) области повышенных значений индексов центробежности: 1) UL1=(P+Ti+V)/ (Mn+Cu+Ag+Zn+Ni+Co+Au; 2) UL2=(Pb+As+Sb+Ba+Bi+Mo)/(P+Ti+V+Mn+Cr+Cu+Zn+Ag+Ni+Co+Au); 3) рудное тело; D) участки повышенных значений показателя OK Ag:Au; E) Геоскан-модель

точно сложно. Следует заметить, что в этих условиях обычный кластер-анализ наблюдений по нормированным данным дает более наглядную картину зональности (рис. 3, C).

Весьма показательно распределение в плоскости разреза значений индексов центробежности (рис. 3, *D*). Концентрический характер распределения значений ИЦ1 и ИЦ2 вокруг рудного тела дополняет картину зонального строения АСГП, выявленную вышеописанными методами, и позволяет говорить о принципиальной возможности создания типовой геохимической модели подобных объектов.

Распределение значений ОК Ag: Au в плоскости разреза свидетельствует о приуроченности их максимумов к слабозолотоносной периферии рудной залежи (рис. 3, E). Таким образом, данный коэффициент может быть использован как для прослеживания рудовмещающих структур, так и для расшифровки структуры геохимического поля.

Повышенные значения показателя энергии рудообразования однозначно коррелируютя с содержаниями золота. Никакой новой информации этот коэффициент не дает, поэтому его использование в масштабах первичных ореолов отдельных рудных тел, видимо, излишне.

Итак, характерными геохимическими ассоциациями самолазовского типа оруденения являются 1) Au, As, Ni, Tl, Sb; 2) Pb, Bi, Ag, Cu, Zn; 3) Ва, Мп. Состав их несколько видоизменяется на различных иерархических уровнях вследствие частичного пе-

СПИСОК ЛИТЕРАТУРЫ

- 1. Григоров С.А., Куклин А.А., Куклин А.П., Розенблюм И.С. Основные черты геохимической зональности золоторудных месторождений Северо-Востока СССР // Тихоокеанская геология. -1988. -№ 3. -C. 97—103.
- 2. Гинзбург Л.Н., Евсеев В.А., Лурье М.Б., Токавищев И.А., Карась С.А. Геоскан программное обеспечение прогнозно-поисковых работ // Разведка и охрана недр. — 2002. — № 5. — С. 11—17.
- 3. Щербаков Ю.Г. Геохимические индикаторы золоторудных полей // Геология и геофизика. -1995. Т. 36. -№ 9. С. 42-52.

рекрытия, но в целом выдерживается достаточно хорошо. Характерно, что АСГП различных уровней, от рудного поля до рудных тел, являются фигурами подобия, особенностью их внутреннего строения является приуроченность Аи и ассоциирующих с ним элементов к центрам аномальных геохимических структур.

Внутреннее строение АСГП на всех иерархических уровнях наиболее полно и объективно выявляется с использованием методов кластеризации переменных, лучшим из которых является факторный анализ. Дополнительная информацию дают кластер-анализ наблюдений, система "Геоскан", показатели интенсивности рудного процесса, причем роль этих вспомогательных методов снижается с увеличением детальности исследований (от рудного поля к рудному телу). Напротив, показатели, основанные на центробежно-центростремительных свойствах элементов (ОК, ИЦ1, ИЦ2), наиболее интересные результаты дают в масштабе рудных тел. Сходные данные получены и для других типов изученных месторождений. Комплексирование перечисленных методов, с учетом обоснованной выше приоритетности, позволяет создавать обобщенные геохимические модели рудных объектов. Подобные морфологические модели могут быть описаны количественно и типизированы применительно к различным группам рудных месторождений и различным уровням их эрозионного среза. Создание таких типовых моделей - насущная проблема сегодняшнего дня.

- Силаев В.И., Цой В.Д., Федчишина Э.Б. Отражение геологического строения рудоносных территорий в неоднородности аномальных геохимических полей // Геология и геофизика. 1990. № 11. С. 39—49.
- Боярко Г.Ю. Построение карт ранговой дисперсии геохимического поля // Прикладная геохимия. Вып. 3. М.: ИМГРЭ. 2002. С. 107—115.
- Сафронов Н.И., Мещеряков С.С., Иванов Н.П. Энергия рудообразования и поиски полезных ископаемых. — Л.: Недра, 1978. — 265 с.